

## (22) コンクリートとエポキシ樹脂の合成材について

秋田文理 正員 川上 淳  
〃 学生員 大塚 行雄  
〃 正員 穂 由 弘

## 1. まえがき

レジンコンクリートの構成材料としての使用は、世界各国で研究中であり、材料特性の解明とともに発展することが予測される。レジンコンクリートは、セメントコンクリートと比較し、速硬性、耐薬品性、強度性状などにおいてすぐれた性質を示し、近年、補修材料としての需要が高まり、多くの施工例を見るに至っている。本報告は、エポキシレジンコンクリートの引張力に対する性状に着目し、鉄筋コンクリートはりの引張部に、レジンコンクリートを導入した時の合成筋について、セメントコンクリートだけを使用する通常の鉄筋コンクリート一体筋と比較し、さらに、レジンコンクリート層を変化させた時の力学特性、特に、曲げひび割れモーメントについて、以下に述べるセメントヒレジンコンクリート合成筋理論に基づき計算し検討を加える。セメントコンクリート、レジンコンクリートをそれぞれ、CC、RC と略す。

## 2. セメントとレジンコンクリートの合成構理論

## ①記号

$C, T_c, T_R, T_S$ ;  $CC$  の圧縮力,  $CC$  の引張力,  $REC$  の引張力, 鋼筋の引張力  
 $y_C, y_T, y_R, y_S$ ; 中立軸位置からそれぞれ  $C, T_c, T_R, T_S$  までの距離

$\sigma_c, \sigma_r, \sigma_k, \sigma_s$ ;  $\sigma_c$  の圧縮応力および引張応力,  $\sigma_{rc}$  の引張応力, 鉄筋の引張応力  $\sigma_e, \sigma_{ek}, \sigma_{es}, \sigma_s$ ; それそれぞれ  $\sigma_c, \sigma_r, \sigma_k, \sigma_s$  に対応するひずみ。

$\sigma_{cr}, \sigma_{car}, \sigma_{rur}, E_{cr}, E_{car}, E_{rur}$ ; CC の最大圧縮応力, CC の最大引張応力, REC の最大引張応力並にそれをに対するひずみ、 $\epsilon_c, \epsilon_{cr}$ ; CC および REC の引張塑性率。

たれ；桁の上端から中立軸位置までの距離（れ：桁高）

$ak, \eta k$ ; 柄の下端から鉄筋位置およびDCとRECの境界面位置までの距離

As, I<sub>i</sub>; 柄の鉄筋量、およびCC, REC 合成柄の換算断面2次モーメント

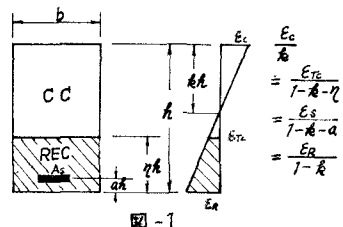
②ひずみ状態；ナビエの仮定に従う(図-1)

③弾性応力状態；全断面有効とし(図-2) 中立軸位置および曲げモーメントは、それぞれ式(1),(2)から求める。

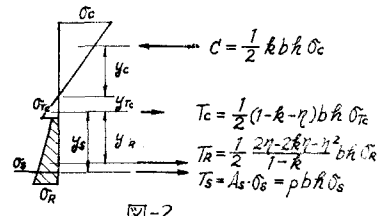
$$\therefore \bar{k} = \left\{ (1-\eta)^2 E_C + (2\eta - \eta^2) E_R + 2p(1-\alpha) E_S \right\} / \left\{ 2E_C + 2\eta(E_R - E_C) + 2pE_S \right\}$$

④応力へひずみ関係(ひび割れ発生時); CCGおよびRCGが引張をうける時の、応力へひずみ関係は、圧縮をうける時の応力へひずみ関係に相似であるとし、圧縮単純引張り試験結果より、それぞれの引張塑性率を、また、引張試験の結果を照合させ、引張強限ひずみを仮定する。

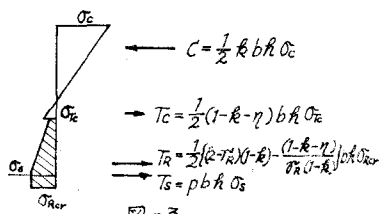
⑤曲げひび割れ応力状態； 柱の圧縮側の応力状態を弹性とし、引張側の応力状態は、(i) REC の引張極限ひずみの値に応じ、三つの状態を考えられる。i) REC のみにひび割れが生じる状態、ii) C/C のみにひび割れが生じる状態、iii) REC にC/C の引張極限ひずみが小さい時



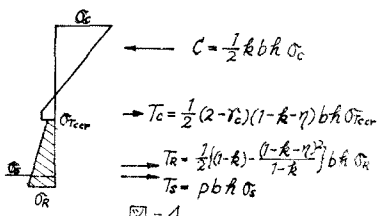
一



☒-2



1-3



- 4 -

とを想定し、CC の引張応力を無視する状態の三形状で、いずれの場合も荷重曲げモーメントは、(2)式より求められる。中立軸位置計算式は、(3)の形を取り、A, B, C の係数については、各状態により決定される。

$$k = \frac{B}{A} + \sqrt{\frac{B}{A}}^2 - \frac{C}{A} \quad \dots \dots \quad (3)$$

i) CC の引張側が弾性状態、REC が完全塑性状態(図-3)

$$A = (2 - \eta_c - 1/E_R) \cdot \sigma_{car}$$

$$B = (1 - \eta_c) E_R E_s + (2 - \eta_c) \sigma_{car} - 1/E_R \cdot (1 - \eta_c) \cdot \sigma_{car} + P E_{car} E_s \quad 0.3$$

$$C = (1 - \eta_c)^2 E_{car} E_s + (2 - \eta_c) \sigma_{car} - 1/E_R \cdot (1 - \eta_c)^2 \cdot \sigma_{car} + 2P(1-a) E_{car} E_s$$

ii) CC の引張側が完全塑性状態、REC が弾性状態(図-4)

$$A = (2 - \eta_c) \sigma_{car} - E_{car} E_s$$

$$B = \eta_c E_{car} E_R + (2 - \eta_c)(1 - \eta_c) \sigma_{car} + P E_{car} E_s$$

$$C = (2 - \eta_c)(1 - \eta_c)^2 \sigma_{car} + (2\eta_c - \eta_c^2) E_{car} E_R + 2P(1-a) E_{car} E_s$$

iii) CC の引張側を無視、REC が完全塑性状態(図-4のない場合)

$$A = (2 - \eta_c - 1/E_R) \cdot \sigma_{car} - E_{car} E_s$$

$$B = \{2 - \eta_c - 1/E_R(1 - \eta_c)\} \cdot \sigma_{car} + P E_{car} E_s$$

$$C = \{2 - \eta_c - 1/E_R(1 - \eta_c)^2\} \cdot \sigma_{car} + 2P(1-a) E_{car} E_s$$

④破壊応力状態；CC の圧縮側を完全塑性状態とし、CC と REC の引張側を無視し、鉄筋の応力だけを考慮する。

$$k = \left\{ -P E_{car} E_s + \sqrt{(P E_{car} E_s)^2 + 2 \cdot (2 - \eta_c) \sigma_{car} \cdot P(1-a) E_{car} E_s} \right\} / \{ \sigma_{car} \cdot (2 - \eta_c) \}$$

$$M = C \cdot y_c + T \cdot y_s$$

⑤たわみ(弹性状態)；全断面有効とし、たわみを算定するときの換算断面2次モーメントは、次のようである

$$I_2 = 1/3 \cdot \{ b^3 + (1 - k - \eta_c)^2 \cdot bR^3 + E_s/E_c \cdot \{ R^3/2 + (1 - k - \eta_c/2)^2 \eta_c^2 bR^3 + E_s/E_c (1 - k - \eta_c)^2 p \} \cdot bR^3 \}$$

### 3 数値計算および検討

図-5~8は、 $P=0.0176$ ,  $a=0.167$ :  $\sigma_{car}$ ,  $\sigma_{car}=240, 80, 30$  kg/cm<sup>2</sup>;  $E_{car}$ ,  $E_{car}$ ,  $E_{car}=2.5, 1, 0.2 \cdot 10^3$  kN/mm<sup>2</sup>,  $\eta_c=0.6$   $E_c=0.7$ とした数値計算結果で、図-5~6は、REC 層厚を変化させた時の弾性および曲げひび割れ応力状態の中立軸位置を表わし、同じく図-7は、発生曲げモーメントを表わす。同様に図-8は全断面有効とした時の換算断面2次モーメントを示す。図-6, 7について状態i)は本数値計算においては、 $\eta_c=0.5$ に近い場合のみ存在し、状態ii)での中立軸位置、荷重モーメントの値は、状態iii)に近いことより、状態i)は状態iii)の特別な場合とみなせる。また図-7で、状態ii)の $\eta_c=0$ の時がCC 一体形で、これはいかなるCC, REC 合成形よりも小さなモーメントを示し、CC, REC 合成形の有利さを示す。曲げひび割れモーメントは、 $\eta_c$ の増加に伴い増しているが、状態ii)と状態iii)交点までは、状態ii)が小さく、その点以上では、状態iii)が小さいことより、図-7の実線が、曲げひび割れ応力状態での発生曲げモーメントの下限を表わしている。また、同時に、全断面有効状態の弾性曲げモーメント(図の斜線域)、破壊応力状態の曲げモーメントも、曲げひび割れモーメントとの比較のために描いてある。次に図-8は、その逆数がたわみを示す資料であり、REC 層が大きい程増加し、 $\eta_c=0.5$ の時、CC 一体形の35%増しなり( $E_c=30 \cdot 10^3$  kg/cm<sup>2</sup>)  $E_s$ の増加についてこの割合が大きくなることがわかる。

### 4 あらかじめ

CC, REC 合成形の特徴は、荷重の耐久性に關連する曲げひび割れモーメントの増加である。実際のひび割れを考慮する時、REC 層が薄い時は、CC のひび割れが顕著になり、ii)の状態に近くなり、REC 層が厚い時はREC のひび割れが顕著になり、iii)の状態に近くなることがわかる。本解析の今後の課題としては、収縮応力、クリープ、すれあいせん断応力の影響を考慮することである。本報告作業に当りショーボンド建設KKの御協力に対し感謝する。

図-5 中立軸位置(弾性状態)

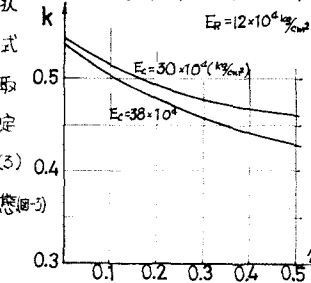


図-6 中立軸位置  
(曲げひび割れ状態)

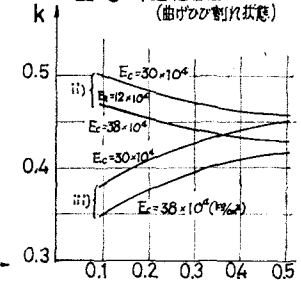


図-7 CC, REC 合成形  
曲げひび割れモーメント  
(E\_s=12 · 10³ kg/cm²)

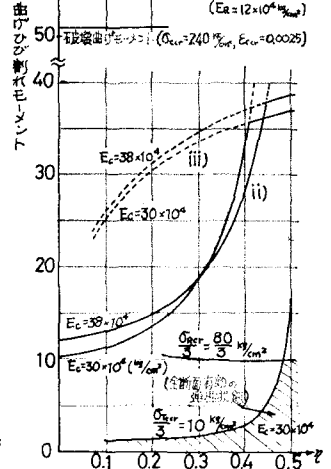


図-8 換算断面2次モーメント  
(弾性状態)

